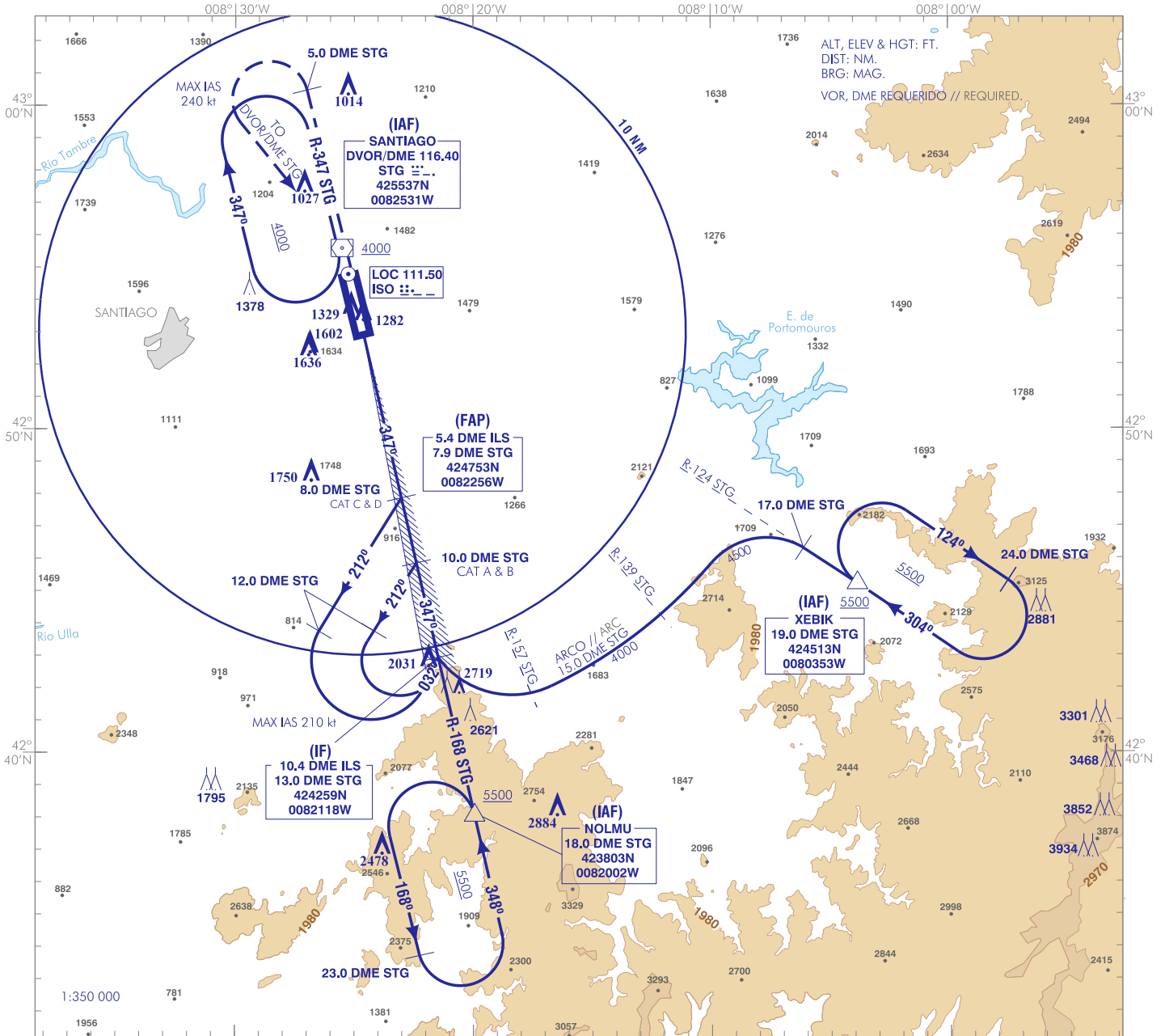


CARTA DE APROXIMACIÓN
POR INSTRUMENTOS-OACI

ELEV AD
1211 ft
VAR 1°W (2025)

APP 120.200 MHz
TWR 118.755 C
GMC 121.705 C
ATIS 127.755 C

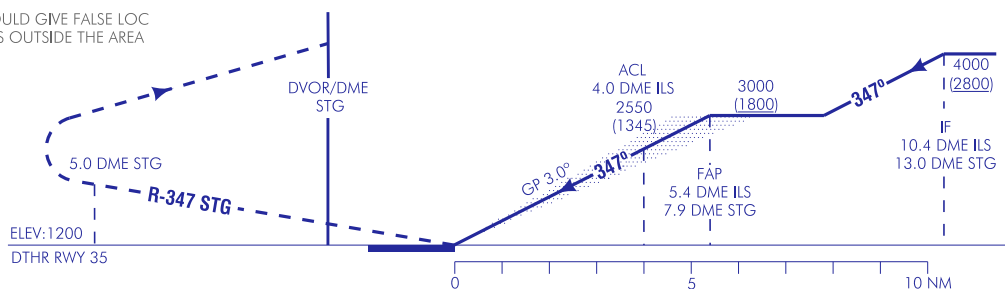
SANTIAGO/Rosalía de Castro
ILS Z
RWY 35



FRUSTRADA: SUBIR EN R-167 STG AL DVOR/DME STG. PROCEDER POR R-347 STG HASTA 5.0 DME STG. VIRAR A LA IZQUIERDA (IAS MAX 240 kt) DIRECTO AL DVOR/DME STG SUBIENDO A 4000 PARA INTEGRARSE A LA ESPERA.
MISSED APCH: CLIMB ON R-167 STG TO DVOR/DME STG. PROCEED ON R-347 STG UP TO 5.0 DME STG. TURN LEFT (MAX IAS 240 kt) DIRECT TO DVOR/DME STG CLIMBING TO 4000 TO JOIN THE HOLDING PATTERN.

NOTAS:
- PRECAUCIÓN: EL ILS PUEDE PROPORCIONAR INDICACIONES FALSAS DEL LOC Y GP FUERA DEL ÁREA DE COBERTURA.

NOTES:
- CAUTION: THE ILS COULD GIVE FALSE LOC AND GP INDICATIONS OUTSIDE THE AREA OF COVERAGE.

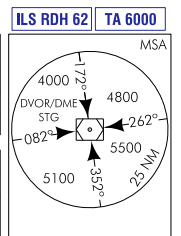


NO OFZ RWY 35
HGT REF ELEV DTHR RWY 35

		OCA/H	A	B	C	D
STA	CAT I 2.5%		1532 (332)	1542 (342)	1552 (352)	1562 (362)
	CAT I 4%		1421 (221)	1433 (232)	1441 (241)	1452 (252)
En círculo (H) sobre Circling (H) over		1211	2000 (790)	2100 (890)	2200 (990)	

GS	kt	80	100	120	140	160	180
FAP-THR: 5.4 NM	min:s	4:02	3:14	2:41	2:18	2:01	1:48
FAP-MAPT:	min:s						
ROD: 5.2 %	ft/min	425	531	637	743	849	955

ALT/HGT DME (ILS) FNA												
13	12	11	10	9	8	7	6	5	4	3	2	1
								2880 (1680)	2560 (1360)	2230 (1030)	1910 (710)	



CAMBIOS: DECLINACIÓN MAGNÉTICA, RUMBOS, RADIALES
CHANGES: MAGNETIC VARIATION, HEADINGS, RADIALS

SANTIAGO/Rosalía de Castro AD

REQUISITOS DE LA BASE DE DATOS AERONÁUTICA
 AERONAUTICAL DATABASE REQUIREMENTS

PROCEDIMIENTOS DE APROXIMACIÓN POR INSTRUMENTOS // INSTRUMENT APPROACH PROCEDURES

ILS Z RWY 35

PUNTO POINT	LAT	LONG	AZIMUT VERDADERO TRUE BEARING	DISTANCIA DME DME DISTANCE (NM)
DVOR/DME STG (IAF)	425536.7N	0082531.4W	-	-
NOLMU (IAF)	423803.4N	0082002.1W	167.00 (STG)	18.00 DME STG
XEBIK (IAF)	424513.4N	0080353.1W	123.00 (STG)	19.00 DME STG
IF	424258.6N	0082117.8W	166.15 (LOC ISO)	10.43 DME ILS
FAP	424753.3N	0082256.2W	166.15 (LOC ISO)	5.37 DME ILS
Aproximación final de precisión - Pendiente (Ángulo de descenso) // Precision final approach - Slope (Descent angle)				5.24% (3.00°)